Տեխնիկական գիտութ, սեբիա

XIX. № 5. 1966 Серия технических наук

ЭЛЕКТРОТЕХНИКА

В. И. СААКОВ, Д. С. МЕЛКОНЯН, А. Ф. АБ

ЭКСПЕРИМЕНТАЛЬНОЕ ОПРЕЛЕЛЕНИЕ ЧАСТОТНЫХ ХАРАКТЕРИСТИК СИНХРОННОЙ МАШИНЫ МЕТОДОМ ВЫНУЖДЕННЫХ ГАРМОНИЧЕСКИХ КОЛЕБАНИЯ

В статье описывается методика определения частотных характеристик синхронной машины с использованием в качестве усилительного звена транзисторного усилителя, что поэволяет охватить широкий днаназон частот. Приводятся частотные характеристики синхронного генератора СГ-60/6, определенные для диапазона частот от 0,038 до 250 гц. Дзется сравнение значений параметров машины, определенных рязличными методами.

1. При питании обмотки статора неподвижной машины синусондальными токами различных частот входное сопротивление машины (здесь и далее в относительных единицах) характеризуется соотношением вида [1, 2]:

$$Z_{\text{nen}}(js) = r_s + js \cdot x(js), \tag{1}$$

где $s=rac{I}{f_0}-$ скольжение.

Входное сопротивление машины, вращающейся со скольжением s, характеризуется соотношением [2]

$$Z_{\rm ap}(js) = r_{\rm 50} + jx(js).$$
 (2)

Из выражений (1) и (2) может быть найдена зависимость ду входными сопротивлениями неподвижной и вращающейся машины [1]

$$Z_{+}(js) = \frac{Z_{++}(js) - r_{+}}{s} + r_{50}. \tag{3}$$

Зависимость активного сопротивления неподвижной машины от частоты приближение учитывается соотношением вида:

$$r_{\rm s} \approx r_0 \left[1 + (r_{\rm s0} - r_0) \left(\frac{f_{\rm h}}{f_{\rm h}} \right) \right] \tag{4}$$

где $r_{50}=p_{cu}+p_{300}$ — потери в меди статорной обмотки и добавочные потери в машине, вращающейся с помянальной скоростью; го - омическое сопротивление фазной обмотки статора.

Таким образом, измеряя входное сопротивление неподвижной машины при приложении напряжений разных частот и учитывая зависимость (4), можно определить зависимость сопротивления вращаюшейся машины от скольжений.

2. На рис. 1 приведена схема опытов. Напряжение питання подводится к концам двухфазных обмоток статора. Третья обмотка разомкнута. Обмотка позбуждения закорочена, ротор установлен в такое

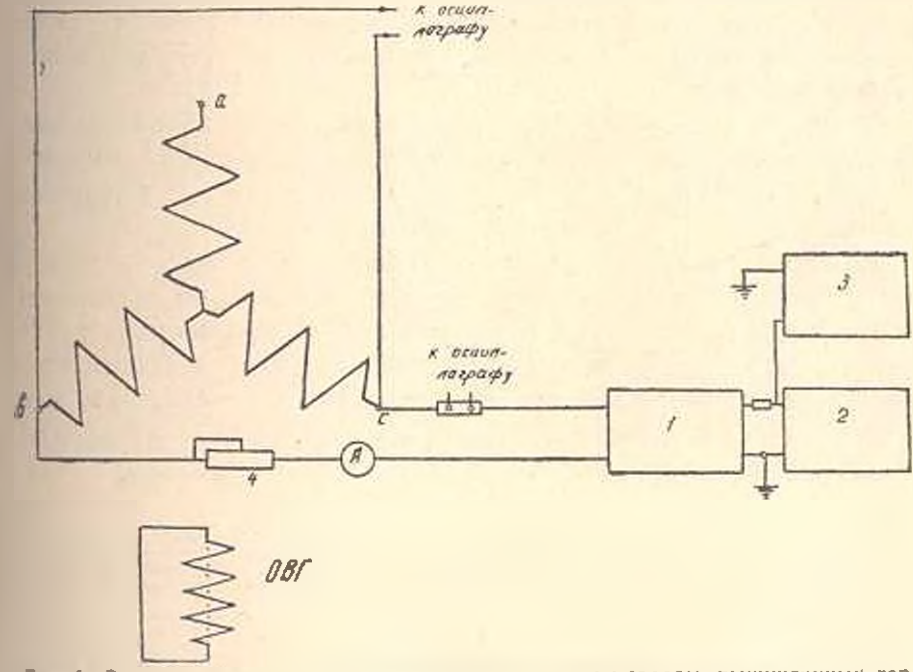


Рис 1. Схема определения частотимх характеристик методом выпужденных гармовических колебаний. 1— транзисторный усилитель. 2— НГПК-3. 3— НФ-3.

положение, чтобы его продольная (поперечная) ось совпадала с осью вамагинчивания машины. При такой схеме соединения обмоток синхронной машины между измеренным полным сопротивлением машины $Z_{\text{пол}}(js)$ и сопротивлением, определяемым формулой (1), существует связь

$$Z_{\text{pen}}(js) = \frac{1}{2} Z_{\text{HOM}}(js). \tag{5}$$

В качестве датчиков синусоидальных напряжений использовались: в диапазоне частот от 0,038 до 100 гд — назкочастотный генератор перводических колебаний НГПК-3, в диапазоне частот от 100 до 250 гд генератор напряжений звуковых частот ЗГ-10. Частоты напряжений НГПК-3 контролировались при номощи низкочастотного фазометра НФ-3. В качестве усилителя мощности был применей двухкаскадный транзисторный усилитель постоянного тока с выходной мощностью порядка 60 вт. В первой ступени усилителя были использованы транзисторы типа П201А, во второй — транзисторы П210А. Максимальный ток выхода транзисторного усилителя — 4 ампера. Для определения частотных характеристик крупных синхронных машин транзисторы

П210А могут быть заменены транзисторами типа П208, что повышает максимальный ток выхода до 10 а. К преимуществам транзисторного усилителя по сравнению с электромашинным следует отнести сохранение величины выходной мощности при повышении частоты входного напряжения, малое искажение формы кривых усилинаемых синусондальных напряжений, компактность. Напряжение и ток в статорных обмотках синхронной машины записывались систолучевым осциллографом 9S0—1F2.

3. По приведенной методике были определены частотные характеристики синхронного генератора СГ-60/6 по осям d и q. Номинальные данные генератора $P_{\rm H}=55~\kappa sa$, $I_{\rm H}=79.5~a$, $U_{\rm H}=400~s$ (базисное сопротивление $z_{\rm B}=2.91~o$ Ma), $n_{\rm H}=1000~o$ o6/мин.

Во время опытов по статорным обмоткам пропускался ток в 1 ампер (действующее значение). Этот ток полдерживался нензменным для всего диапазона частот. Обработка осциллограмм дает значения модуля и аргумента сопротивления $Z_{\rm BIM}$ (js). Результаты измерений на неподвижной машине представлены на рисунках 2, 3, на которых построены зависимости $X_{\rm BEB} = I_m \left[Z_{\rm BEB} (js) \right]$, $R_{\rm BEB} = Re \left[Z_{\rm BEB} (js) \right]$ от частоты f по осям d и q.

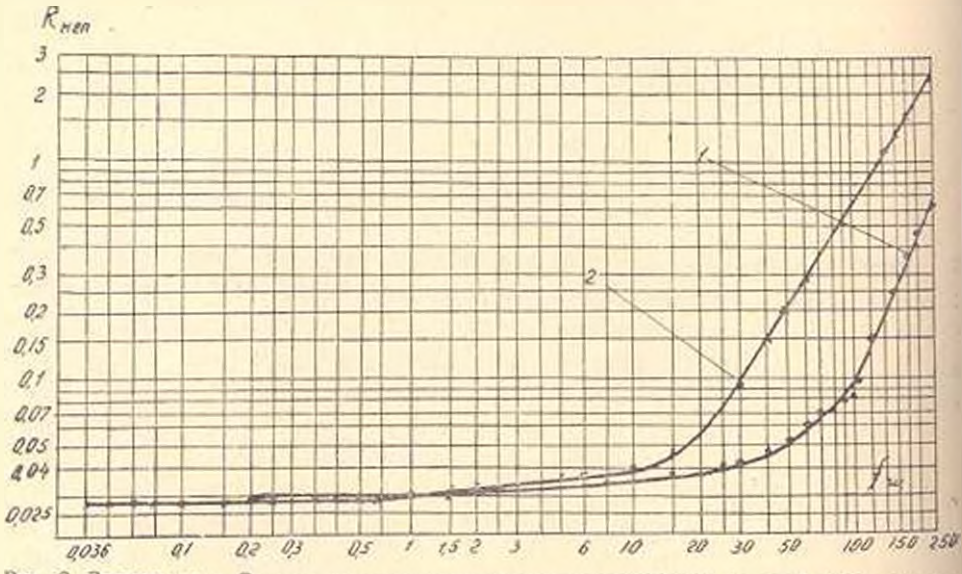


Рис. 2. Зависимость Rиев от частоты приложенных напряжений. I — ось d, 2 — ось q-

Переход от сопротивлений неподвижной машины к сопротивлениям вращающейся был произведен по формуле (3) с учетом соотношения (4). При расчете величины r_{50} потери определялись для значения r_{61} поскольку исследуемая машина имеет такую обмотку на статоре, для которой, как показали расчеты, эффект вытеснения при f=50 ги пренебрежимо мал. На рис. 1 в логарифиических координатах даны зависимости $X_{\rm BP}(s)=\{Z_{\rm BP}(fs)\}$, $R_{\rm BP}(s)=Re[Z_{\rm BP}(fs)]$ для осей d и q. Нзображенные на рис. 4 зависимости $X_{\rm BP}(s)$ для скольжения s=0 соответствуют параметрам машины X_d и X_d , а для

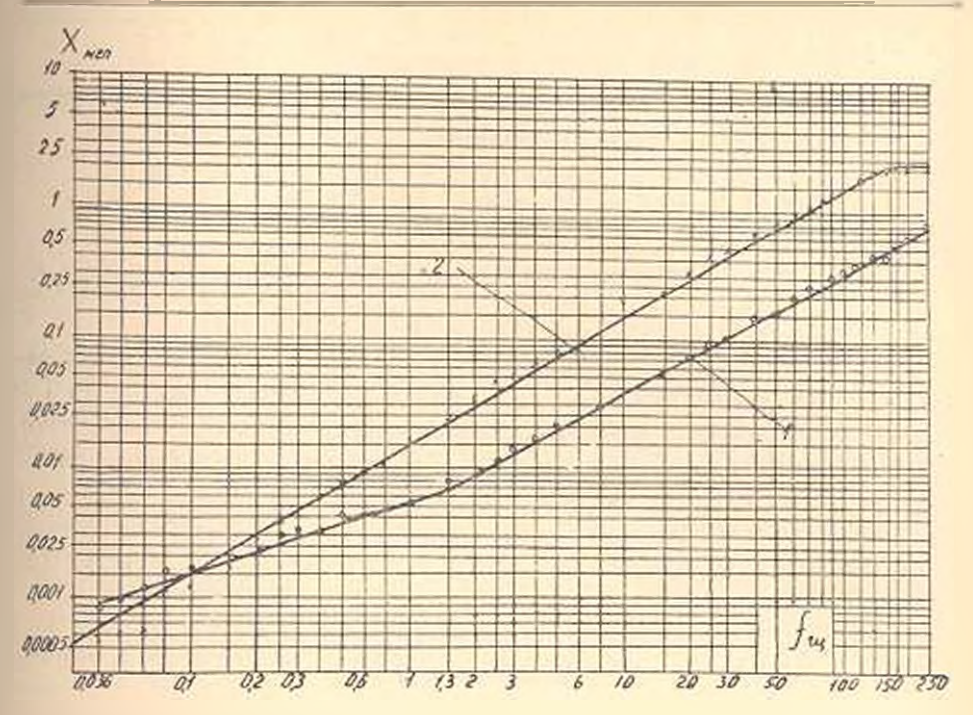


Рис. 3. Зависимость $X_{\text{неп}}$ от частоты приложенных напряжений. I — ось d, 2—ось q. R G(S) X G(S)

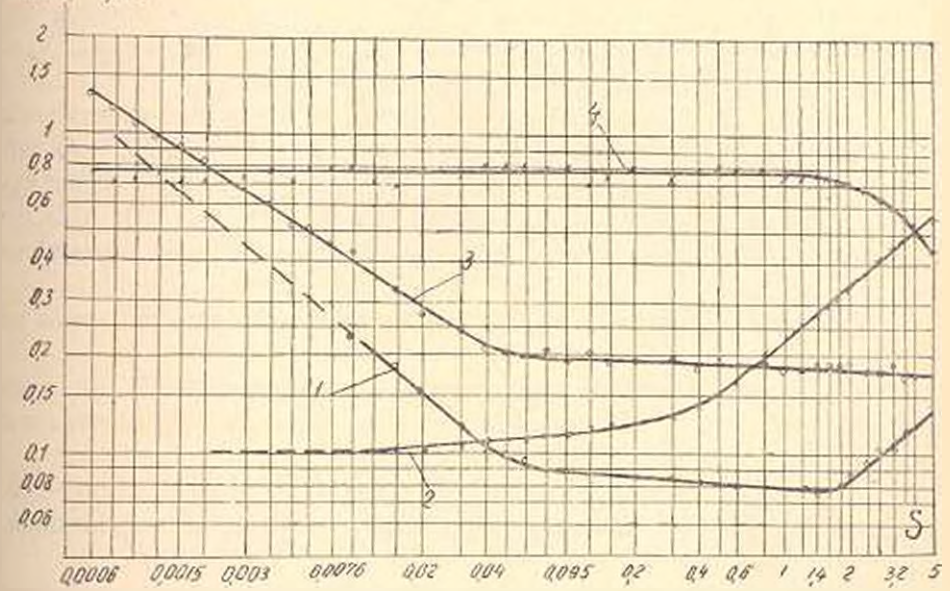


Рис. 4. Зависимости активных в индуктивных сопрозивлении вранцающейся машины по осим d и q от частоты скольжения $l = R_{\rm BP}(s)$ по оси d, $2 = R_{\rm BP}(s)$ по оси q, $3 = X_{\rm BP}(s)$ по оси d, $4 = X_{\rm BP}(s)$ по оси q.

s=1 параметрам X_d и X_d . Сравнение значений параметров X_d , X_d определенных различными методами приведено ниже в таблице:

Метод определения параметра	34	No.	X_{ℓ}	X_q^{\prime}
Оныты колостого хода и короткого замыкания - Олыт скольжения	1,41	0,149 0,166 0,190 0,185 (50 zu) 0,176 (250 zu)	1,03 1,35	0.9

Кривая 4 на рис. 4 показынает, что значение $X_{\rm врд}$ (s) практически остается неизменным в диапазоне скольжений от () до 1,5; $X_{\rm врd}$ (s) в диапазоне s от 0 до 0,05 уменьшается относительно резко, а далее уменьшается в незначительной степени. Характер кривых $R_{\rm s}$ (s) показывает, что активное сопротивление по оси $R_{\rm s}$ (s) в диапазоне скольжений 0—1.5 уменьшается, а затем имеет тенденцию к увеличению. Сопротивление же $R_{\rm врд}$ (s) со скольжений порядка 0,01 начинает возрастать.

Выволы

1. Рассмотренный метод определения частотных характеристик синхронной машины при сложной аппаратуре должен обеспечить несложную обработку результатов измерений. Результаты проведенной работы показали, что для практического применения метод нуждается в существенной корректировке в отношении:

перехода от сопротивлений неподвижной машины к вращающейся в области малых скольжении. Из выражения (3) видно, что при малых скольжениях переход от $Z_{\rm up}(js)$ вносит значительные погрешности из-за соизмеримости величин $Re[Z_{\rm up}(js)]$ и r_1 . Это подтвердилось в ходе обработки результатов опыта для скольжений менее 0.02;

уточнения формулы (4), особенно в области больших скольжений;

разработки методики учета потерь и стали машины и их влияния на частотные характеристики на основании экспериментальных данных.

2. С точки зрения применяемой аппаратуры перспективным является применения в качестве усилительного звена полупроводникового усилителя постоянного тока. Кроме того, целесообразен отказ от осциллографирования всех измеряемых величин за счет их непосредственного определения при помощи электронной аппаратуры инфранизкочастотного дианазона (частотомер НФ-3 для измерения сдвита между током и напряжением и контроля частоты, двойной пиконый вольтметр ДПВ-2 для измерения амплитуд токов и напряжений). АрмНИИЭ

d. b. bullynd. a. b. bolensbub, u. s. un

ՀԱՐԿԱԳՐՎԱԾ ՀԱՐՄՈՆԻԿ ՏԱՏԱՆՈՒՄՆԵՐԻ ՄԵԹՈԳՈՎ ՍԻՆԽՐՈՆ ՄԵՔԵՆԱՅԻ ՀԱՃԱԽԱԿԱՆԱԿԱՆ ԲՆՈՒԹԱԳՐԵՐԻ ՄԱՀՄԱՆՈՒՄԸ

Underst

Հոդվածում նկարադրվում է սինարոն մեքենայի հաճարականական բնութագրերի սաժմանման մեկեսդիկան, որ օգտագործում է տրանդիստորային ու հեղարարը։ նկարագրվող մեքեոդիկան քեռչչ է տայիս որոշել բնութագրեր քաարականությունների լայն դիտպաղոնի համար։ Մասնավորտպես բերվում են ՍԳ--60/6 սինարոն դեներատորի համախականական բնութադրևրը, որ
սահմանված են 0,38—250 հերց համախականությունների դիտպաղոնի հաժար։ Այդ մերենայի պարամետրերը, որ որոշված են հաճախականական մեթողներով, համանաավում են կլասիկ մեքեոդներով սահմանված համանանան
պարաժետրերի հետ։

Արդյունըների վերլուծումը ցույց է տալիս արանդիստորային ուժեղարարի օգտագործման նպատակահարմար լինելը, ինչ վերաբերում է էրսպերիմենտալ ավյալների մշակմանը, այն պահանջում է մանրամասն հշտում և հետազոտու-Այուն։

ЛИТЕРАТУРА

- 1. Соколов П. И., и Киркин Б. П. Определение частотных характеристик синхронных машин. ,Электричество*, № 1, 1962.
- Казовский Е. Я. Переходные процессы в электрических машинах переменного тока. Изд. АН СССР, 1962.
- Казовский Е. Я и Рогозин Г. Г. Экспериментальное определение частотных характеристик турбогенераторов. Электричество*, № 10. 1963.
- Ледянкин Д. П. и Агесв О. П. Экспериментальное определение частотных характеристик синхропия с машии. Известия ВМЗ "Энергетика". № 6, 1964.
- Sen S. K., Adkins B. The application of the frequency-response method to Electrical machines. Proc. JEE, Part. C. vol. 103, No. 1, 1956.